

01;03

Об осцилляциях заряженной капли вязкой жидкости с конечной проводимостью

© С.О. Ширяева, А.И. Григорьев, О.С. Крючков

Ярославский государственный университет им. П.Г. Демидова,
150000 Ярославль, Россия
e-mail: shir@uniyar.ac.ru

(Поступило в Редакцию 26 сентября 2006 г.)

Выведено и проанализировано дисперсионное уравнение для капиллярных осцилляций сферической капли вязкой несжимаемой жидкости с конечной электропроводностью. Выяснилось, что электрические токи в заряженной капле, выравнивающие ее потенциал, приводят к возникновению течений жидкости, взаимодействующих как с потенциальными, так и с вихревыми полоидальными движениями жидкости в капле, порождаемыми осцилляциями капли. Учет конечности скорости выравнивания потенциала вдоль поверхности капли приводит к дополнительному затуханию капиллярных колебаний, происходящему из-за увеличения роли диссипации энергии.

PACS: 47.55.dd

Введение

Капиллярные колебания и устойчивость заряженных капель при различных физико-химических характеристиках жидкости неоднократно исследовались как экспериментально, так и теоретически в линейном и в нелинейных приближениях, поскольку сама проблема представляет значительный интерес в связи с многочисленными академическими, техническими и технологическими приложениями (см., например, [1–3] и указанную там литературу). Однако некоторые вопросы, связанные с указанной тематикой, до сих пор исследованы не полностью. Так, например, влияние на закономерности реализации устойчивых и неустойчивых движений жидкости в капле конечности скорости перераспределения заряда (конечности скорости выравнивания электрического потенциала) при осцилляциях капли для жидкости с конечной электропроводностью исследовано пока слабо, хотя эта тематика неоднократно становилась объектом внимания исследователей как для изолированной капли в вакууме [4], так и для вязкой проводящей капли в электропроводной вязкой среде [5], для капли, излучающей при осцилляциях электромагнитные волны [6], или при расчетах равновесных форм капель [7]. Причина сложившегося положения дел в некорректном использовании условия баланса электрического заряда на поверхности осциллирующей капли, которое механически переносилось с равновесной плоской поверхности (поверхности с нулевой средней кривизной), для которой и были сформулированы основополагающие идеи учета эффекта релаксации электрического заряда в жидкости [8], на криволинейную равновесную поверхность капли. Этот недостаток отмечен в [9], где и был проведен строгий вывод уравнения баланса заряда на произвольной криволинейной поверхности. В связи со сказанным и проведено настоящее рассмотрение.

Математическая формулировка задачи

Пусть сферическая капля вязкой несжимаемой жидкости с массовой плотностью $\rho_1 \equiv \rho$, коэффициентами кинематической вязкости ν и поверхностного натяжения α , удельной проводимостью $\sigma_1 \equiv \sigma$, диэлектрической проницаемостью $\varepsilon_1 \equiv \varepsilon$ обладает зарядом Q и помещена в среду с характеристиками $\sigma_2 = 0$, $\varepsilon_2 = 1$, $\rho_2 \equiv 0$ (т.е. капля находится в вакууме). Уравнение границы раздела сред (свободной поверхности капли) в сферической системе координат с началом в центре капли запишем в виде $r = R + \xi(\vartheta, \varphi, t)$, где R — радиус невозмущенной капли, а $\xi(\vartheta, \varphi, t)$ — возмущение равновесной сферической поверхности капли, вызванное капиллярным волновым движением весьма малой амплитуды $|\xi| \ll R$.

Для упрощения записи и последующих вычислений перейдем к безразмерным переменным, в которых $R = 1$, $\rho = 1$, $\alpha = 1$. Тогда остальные величины (за которыми оставим прежние обозначения) выразятся в единицах своих характерных значений

$$r_* = R; \quad t_* = \sqrt{\frac{R^3 \rho}{\alpha}}; \quad u_* = \frac{\alpha}{R};$$

$$\sigma = \sqrt{\frac{\alpha}{R^3}} \rho; \quad Q = \sqrt{R^3 \alpha}; \quad v_* = \sqrt{\frac{R \alpha}{\rho}}.$$

Система уравнений гидродинамики в электростатическом поле имеет вид [7,8]:

$$\frac{\partial \mathbf{u}}{\partial t} + (\mathbf{u} \cdot \nabla) \mathbf{u} = -\nabla P_1 + \nu \Delta \mathbf{u}; \quad \operatorname{div} \mathbf{u} = 0; \quad (1)$$

$$\operatorname{div} \mathbf{D}_1 = 4\pi\mu; \quad \operatorname{div} \mathbf{D}_2 = 0; \quad \mathbf{D}_j = \varepsilon \mathbf{E}_j; \quad \mathbf{E}_j = -\nabla \Phi_j, \quad (2)$$

$j = 1, 2$, индекс 1 относится к капле, а индекс 2 — к внешней среде; $\mu(\mathbf{r}, t)$ — объемная плотность электрического заряда; $\mathbf{u}(\mathbf{r}, t)$ — поле скоростей; $P_1(\mathbf{r}, t)$ —

давление внутри капли при наличии электрического поля.

На свободной поверхности капли $F(\mathbf{r}, t) \equiv r - 1 - \xi(\vartheta, \varphi, t) = 0$ должны выполняться граничные условия кинематическое:

$$\frac{dF}{dt} \equiv \frac{\partial F}{\partial t} + \mathbf{u} \cdot \nabla F = 0; \quad (3)$$

динамическое для касательных компонент тензора напряжений:

$$(\Pi_{2\tau} - \Pi_{1\tau}) - \nu [\boldsymbol{\tau} \cdot (\mathbf{n} \cdot \nabla) \mathbf{u} + \mathbf{n} (\boldsymbol{\tau} \cdot \nabla) \mathbf{u}] = 0; \quad (4)$$

$$\Pi_{\tau} = \frac{\varepsilon}{4\pi} E_n E_{\tau},$$

где E_n , E_{τ} — нормальная и касательная компоненты напряженности электрического поля; \mathbf{n} и $\boldsymbol{\tau}$ — орты нормали и касательной к поверхности $F(\mathbf{r}, t) \equiv r - 1 - \xi(\vartheta, \varphi, t) = 0$;

динамическое граничное условие для нормальной компоненты тензора напряжений

$$-(P_1 - P_2) + 2\nu \mathbf{n} \cdot (\mathbf{n} \cdot \nabla) \mathbf{u} + P_E + P_{\alpha} = 0, \quad (5)$$

где P_2 — давление внешней среды; $P_E \equiv (E^2/8\pi)$ и $P_{\alpha} \equiv \alpha \cdot \operatorname{div} \mathbf{n}$ — давление на свободную поверхность капли электрических сил и сил поверхностного натяжения, условия скачка нормальной компоненты электрической индукции на заряженной границе раздела сред и непрерывности на ней электрического потенциала и касательных компонент напряженности электрического поля

$$r = 1 + \xi; \quad D_{2n} - D_{1n} = 4\pi\kappa; \quad E_{2\tau} = E_{1\tau}; \quad \Phi_1 = \Phi_2; \quad (6)$$

условие баланса поверхностной плотности заряда

$$\frac{\partial \kappa}{\partial t} - \sigma(\mathbf{n} \cdot \mathbf{E}_1) + 2u_r \kappa + \operatorname{div}_{\Sigma} [\kappa(u_{\tau} + bE_{\tau}) \boldsymbol{\tau}] = 0, \quad (7)$$

где $\kappa(\vartheta, \varphi, t)$ — поверхностная плотность электрического заряда; u_r — радиальная часть поля скорости; u_{τ} и E_{τ} — проекции поля скоростей и напряженности электрического поля на направление касательной к свободной поверхности капли; $\operatorname{div}_{\Sigma}$ — оператор поверхностной дивергенции.

Электрический потенциал поля свободного заряда капли должен удовлетворять условиям ограниченности на бесконечности и в центре капли

$$r \rightarrow \infty: \quad \Phi_2 \rightarrow 0; \quad r \rightarrow 0: \quad \Phi_1 \rightarrow \text{const}. \quad (8)$$

Потребуем также, чтобы объем капли при осцилляциях сохранялся, а ее центр масс был неподвижен

$$\int_V dV = \frac{4}{3} \pi, \quad \int_V \mathbf{r} dV = 0. \quad (9)$$

Система уравнений (1), (2) с условиями (3)–(9) представляет собой математическую формулировку решаемой задачи.

Равновесная форма

Для определения равновесной формы поверхности капли в отсутствие всякого движения жидкости и колебаний ее свободной поверхности достаточно положить $\mathbf{u}(\mathbf{r}, t) \equiv 0$ и $\xi(\vartheta, \varphi, t) \equiv 0$. Тогда из системы уравнений (1) находится $P_1^0 = \text{const}$, где P_1^0 — значение P_1 для равновесной сферической поверхности капли; граничные условия (3), (4) обращаются в тождества, а из граничного условия (5) получается уравнение, определяющее равновесную сферическую форму капли

$$F(\mathbf{r}, t) = r - 1 = 0; \quad \Delta P \equiv P_1^0 - P_2 = P_{\alpha}^0 - P_E^0, \quad (10)$$

где P_{α}^0 и P_E^0 — давление сил поверхностного натяжения и электрических сил на равновесную сферическую поверхность капли.

Линеаризация задачи

Решение задачи о капиллярных колебаниях капли проведем в линейном по полю скоростей $u(\mathbf{r}, t)$ и возмущению поверхности $\xi(\vartheta, \varphi, t)$ приближении и с учетом (10). Давления P_1 , P_E и P_{α} разложим в ряд по малым величинам u , ξ , ограничиваясь слагаемыми первого порядка малости:

$$P_1 = P_1^0 + p_1 + \dots, \quad P_E = P_E^0 + p_E + \dots, \quad (11)$$

$$P_{\alpha} = P_{\alpha}^0 + p_{\alpha} + \dots$$

Здесь p_1 , p_E и p_{α} — добавки к соответствующим давлениям, имеющие первый порядок малости.

В итоге система уравнений (1)–(9) в линейном приближении по малым величинам запишется в виде

$$\frac{\partial \mathbf{u}}{\partial t} = -\nabla p_1 + \nu \Delta \mathbf{u}; \quad \operatorname{div} \mathbf{u} = 0. \quad (12)$$

Граничные условия (4)–(6) в линейном приближении отнесем к невозмущенной поверхности капли $r = 1$. В результате получим

$$r = 1: \quad \frac{\partial \xi(\vartheta, \varphi, t)}{\partial t} = u_r; \quad (13)$$

$$(\Pi_{2\tau} - \Pi_{1\tau}) - \nu [\boldsymbol{\tau} \cdot (\mathbf{n} \cdot \nabla) \mathbf{u} + \mathbf{n} \cdot (\boldsymbol{\tau} \cdot \nabla) \mathbf{u}] = 0. \quad (14)$$

Подставив разложения (11) в динамическое граничное условие (5), в линейном по малым величинам приближении найдем

$$r = 1: \quad -p_1 + 2\nu \mathbf{n} \cdot (\mathbf{n} \cdot \nabla) \mathbf{u} - p_E + p_{\alpha} = 0. \quad (15)$$

Условия (9) в первом порядке малости по ξ запишутся в виде

$$\int_{\Omega} \xi(\vartheta, \varphi, t) d\Omega = 0; \quad \int_{\Omega} \mathbf{e}_r \cdot \xi(\vartheta, \varphi, t) d\Omega = 0; \quad (16)$$

$d\Omega$ — элемент телесного угла.

Скаляризация задачи

Решение векторной краевой задачи (11)–(16) будем искать методом скаляризации [10,11], позволяющим наиболее наглядным образом представить поле скоростей течения жидкости в капле в виде суперпозиции потенциального, вихревого полоидального и вихревого тороидального течений. Иными словами, поле скоростей течения жидкости в капле $\mathbf{u}(\mathbf{r}, t)$, имеющее первый порядок малости по $|\xi|$, представим в виде суммы трех ортогональных векторных полей

$$\mathbf{u}(\mathbf{r}, t) = \hat{\mathbf{N}}_1 \Psi_1(\mathbf{r}, t) + \hat{\mathbf{N}}_2 \Psi_2(\mathbf{r}, t) + \hat{\mathbf{N}}_3 \Psi_3(\mathbf{r}, t), \quad (17)$$

где $\Psi_i(\mathbf{r}, t)$ — скалярные функции, определяемые видом векторного поля $\mathbf{u}(\mathbf{r}, t)$; $\hat{\mathbf{N}}_i$ — векторные дифференциальные операторы, удовлетворяющие условиям ортогональности

$$(\hat{\mathbf{N}}_j^+, \hat{\mathbf{N}}_i) = 0, \quad \text{при } i \neq j \quad (18)$$

и условиям коммутативности с оператором Лапласа Δ

$$\Delta \cdot \hat{\mathbf{N}}_i = \hat{\mathbf{N}}_i \cdot \Delta, \quad i = 1, 2, 3. \quad (19)$$

Верхний индекс „плюс“ у оператора обозначает эрмитовое сопряжение. Векторные операторы $\hat{\mathbf{N}}_i$ в сферической системе координат удобно выбрать в виде

$$\begin{aligned} \hat{\mathbf{N}}_1 &\equiv \nabla; & \hat{\mathbf{N}}_2 &\equiv \hat{\mathbf{N}}_1 \times \mathbf{r} \equiv \nabla \times \mathbf{r}; \\ \hat{\mathbf{N}}_3 &\equiv \hat{\mathbf{N}}_1 \times \hat{\mathbf{N}}_2 \equiv \nabla \times (\nabla \times \mathbf{r}); \end{aligned} \quad (20)$$

$$\hat{\mathbf{N}}_1^+ \equiv -\nabla; \quad \hat{\mathbf{N}}_2^+ \equiv \mathbf{r} \times \nabla; \quad \hat{\mathbf{N}}_3^+ \equiv (\mathbf{r} \times \nabla) \times \nabla. \quad (21)$$

Операторы $\hat{\mathbf{N}}_j^+$ — эрмитово-сопряженные с операторами $\hat{\mathbf{N}}_j$; оператор $\hat{\mathbf{N}}_1$ выделяет потенциальную часть течения, $\hat{\mathbf{N}}_2$ — вихревую тороидальную по отношению к оси OZ , $\hat{\mathbf{N}}_3$ — вихревую полоидальную компоненту течения жидкости в капле.

Подставив разложение (17) в уравнение (12), используя явный вид оператора $\hat{\mathbf{N}}_1$ и свойства коммутативности (19), несложно переписать (12) в виде

$$\sum_{i=1}^3 \hat{\mathbf{N}}_i \left[\left(\frac{\partial}{\partial t} - \nu \Delta \right) \Psi_i + \delta_{i1} \cdot p_1 \right] = 0; \quad (22)$$

δ_{i1} — символ Кронекера. Умножив уравнение (22) слева последовательно на операторы $\hat{\mathbf{N}}_j^+$, где $j = 1; 2; 3$, и используя условия ортогональности (18), получим систему трех независимых уравнений

$$(\hat{\mathbf{N}}_i^+, \hat{\mathbf{N}}_i) \left\{ \delta_{i1} \cdot p_1 + \frac{\partial \Psi_i}{\partial t} - \nu \Delta \Psi_i \right\} = 0, \quad i = 1, 2, 3. \quad (23)$$

Так как векторные операторы $\hat{\mathbf{N}}_i$ коммутируют с оператором Лапласа Δ , то и эрмитово-сопряженные им операторы $\hat{\mathbf{N}}_i^+$ коммутируют с ним, поскольку оператор Лапласа является самосопряженным оператором ($\Delta^+ \equiv \Delta$).

Следовательно, условие коммутации справедливо и для операторов $(\hat{\mathbf{N}}_i^+, \hat{\mathbf{N}}_i)$ и Δ . Это, в свою очередь, означает, что указанные операторы обладают общей системой собственных функций, которую обозначим $\{\varphi_i\}$, тогда

$$(\hat{\mathbf{N}}_i^+, \hat{\mathbf{N}}_i) \varphi_j = n_j^i \varphi_j; \quad \Delta \varphi_j = \lambda_j \varphi_j, \quad (24)$$

где n_j^i и λ_j — собственные значения операторов $(\hat{\mathbf{N}}_i^+, \hat{\mathbf{N}}_i)$ и Δ , соответствующие собственным функциям φ_j .

Воспользуемся тем, что произвольная функция, определенная в той же области пространства, что и $\{\varphi_i\}$, может быть разложена в ряд по полному набору собственных функций $\{\varphi_i\}$, и представим неизвестные функции $p_1(\mathbf{r}, t)$ и $\Psi_i(\mathbf{r}, t)$ в уравнениях (23) в виде разложений

$$p_1 = \sum_j A_j \cdot \varphi_j(\mathbf{r}, t); \quad \Psi_i(\mathbf{r}, t) = \sum_j B_j^i \cdot \varphi_j(\mathbf{r}, t); \quad (25)$$

A_j и B_j^i — коэффициенты разложения. Суммирование ведется по всему набору собственных функций $\{\varphi_i\}$.

Подставив разложение (25) в (23) и учитывая соотношения (24), получим

$$\sum_j \left\{ A_j \delta_{i1} + B_j^i \frac{\partial}{\partial t} - \nu B_j^i \lambda_j \right\} n_j^i \varphi_j = 0.$$

Поскольку система собственных функций $\{\varphi_i\}$ не нулевая, то последнее равенство может выполняться лишь тогда, когда все собственные значения $n_k^i = 0$ либо когда все выражения, стоящие в фигурных скобках, равны нулю. Поскольку тривиальный первый случай не соответствует физическому смыслу задачи, остается считать, что

$$n_j^i \neq 0; \quad \left\{ A_j \cdot \delta_{i1} + \frac{\partial}{\partial t} - \nu \lambda_j B_j^i \right\} = 0, \quad (\forall i, j). \quad (26)$$

Умножив (26) на соответствующую собственную функцию φ_j , просуммировав по всем j и учитывая выражения (24) и (25), получим систему трех скалярных уравнений в частных производных второго порядка для отыскания функции $\Psi_i(\mathbf{r}, t)$:

$$\delta_{i1} \cdot p_1 + \frac{\partial}{\partial t} \Psi_i(\mathbf{r}, t) - \nu \cdot \Delta \Psi_i(\mathbf{r}, t) = 0, \quad i = 1, 2, 3. \quad (27)$$

Подставим в условие несжимаемости жидкости (13) разложение (17), учтем явный вид оператора $\hat{\mathbf{N}}_1$ (20), а также тот факт, что $\hat{\mathbf{N}}_1^+ = -\hat{\mathbf{N}}_1$ (21), и используя условие ортогональности (18), получим

$$(\nabla \cdot \nabla) \Psi_1 \equiv \Delta \Psi_1 = 0. \quad (28)$$

Из (27) при $i = 1$ с учетом (28) найдем

$$p_1(\mathbf{r}, t) = -\frac{\partial}{\partial t} \Psi_1(\mathbf{r}, t). \quad (29)$$

С учетом (29) система уравнений (27) представляется в виде

$$\Delta\Psi_i(\mathbf{r}, t) - \frac{1}{\nu} (1 - \delta_{i1}) \frac{\partial\Psi_i(\mathbf{r}, t)}{\partial t} = 0, \quad i = 1, 2, 3. \quad (30)$$

Для скаляризации граничных условий (13)–(15) воспользуемся выражениями для компонент вектора $\mathbf{u}(\mathbf{r}, t)$ в сферической системе координат через скалярные функции $\Psi_i(\mathbf{r}, t)$, которые несложно выписать, используя (17) и (20). В итоге кинематическое условие (13) примет вид

$$r = 1: \quad \frac{\partial\xi(\vartheta, \varphi, t)}{\partial t} = \frac{\partial\Psi_1}{\partial r} - \frac{1}{r} \Delta_\Omega\Psi_3. \quad (31)$$

Динамическое условие для касательных компонент тензора напряжений (14) даст два соотношения

$$r = 1, \quad \boldsymbol{\tau} \equiv \mathbf{e}_\vartheta:$$

$$\begin{aligned} (\Pi_{2\vartheta} - \Pi_{1\vartheta}) - \nu \left[\frac{\partial}{\partial\vartheta} \left\{ 2 \frac{\partial}{\partial r} \left(\frac{\Psi_1}{r} \right) \right. \right. \\ \left. \left. + \frac{\partial^2\Psi_3}{\partial r^2} - \frac{1}{r^2} (2 + \Delta_\Omega)\Psi_3 \right\} \right. \\ \left. + \frac{1}{\sin\vartheta} \frac{\partial}{\partial\varphi} \left\{ \frac{\partial\Psi_2}{\partial r} - \Psi_2 \right\} \right] = 0; \quad (32) \end{aligned}$$

$$r = 1, \quad \boldsymbol{\tau} \equiv \mathbf{e}_\varphi:$$

$$\begin{aligned} (\Pi_{2\varphi} - \Pi_{1\varphi}) - \nu \left[\frac{1}{\sin\vartheta} \frac{\partial}{\partial\varphi} \left\{ 2 \frac{\partial}{\partial r} \left(\frac{\Psi_1}{r} \right) \right. \right. \\ \left. \left. + \frac{\partial^2\Psi_3}{\partial r^2} - \frac{1}{r^2} (2 + \Delta_\Omega)\Psi_3 \right\} \right. \\ \left. - \frac{\partial}{\partial\vartheta} \left\{ \frac{\partial\Psi_2}{\partial r} - \frac{\Psi_2}{r} \right\} \right] = 0, \quad (33) \end{aligned}$$

где Δ_Ω — угловая часть оператора Лапласа в сферических координатах.

Динамическое граничное условие для нормальной компоненты тензора напряжений (15) и условия (16) примут вид

$$r = 1: \quad \left\{ -p_1 + 2\nu \left[\frac{\partial^2\Psi_1}{\partial r^2} - \Delta_\Omega \left(\frac{\partial}{\partial r} \left(\frac{\psi_3}{r} \right) \right) \right] \right. \\ \left. - p_E + p_\alpha \right\} = 0; \quad (34)$$

$$\begin{aligned} \int_\Omega \xi(\vartheta, \varphi, t) \cdot Y_0^0(\vartheta, \varphi) d\Omega = 0; \\ \int_\Omega \xi(\vartheta, \varphi, t) \cdot Y_1^m(\vartheta, \varphi) d\Omega = 0. \quad (35) \end{aligned}$$

Решение системы скалярных краевых задач

Нахождение решения системы (28)–(30) можно рассматривать как исследование на устойчивость по Ляпунову равновесного тривиального решения исходной системы уравнений (1)–(9), имеющего вид

$$\mathbf{u}(\mathbf{r}, t) = 0; \quad \xi(\vartheta, \varphi, t) = 0. \quad (36)$$

Из (36) следует, что начальное условие также является нулевым

$$t = 0: \quad \xi(\vartheta, \varphi) \equiv 0.$$

Зададим некоторое малое возмущение $\xi(\vartheta, \varphi, t = 0) = \xi_0(\vartheta, \varphi)$. Решение (36) при этом также получит малое возмущение (т.е. $u(\mathbf{r}, t) \neq 0$ и $\xi(\vartheta, \varphi, t) \neq 0$ и малы). Положим

$$\begin{aligned} \Psi_i(\mathbf{r}, t) \sim \Psi_i^0(\mathbf{r}) \cdot \exp(St); \\ \xi(\vartheta, \varphi, t) \sim \xi_0(\vartheta, \varphi) \cdot \exp(St). \quad (37) \end{aligned}$$

Используя зависимости (37) в системе (29), (30), получим

$$\begin{aligned} \Delta\Psi_i^0(\mathbf{r}) - \frac{1}{\nu} (1 - \delta_{i1}) S \cdot \Psi_i^0(\mathbf{r}) = 0, \quad i = 1, 2, 3; \\ p_1 = -S \cdot \Psi_1^0(\mathbf{r}). \quad (38) \end{aligned}$$

Решения системы (38) имеют вид

$$\Psi_1^0(\mathbf{r}) = \sum_{l=2}^{\infty} \sum_{m=-l}^l C_{lm}^1 r^l Y_l^m(\vartheta, \varphi); \quad (39)$$

$$\Psi_i^0(\mathbf{r}) = \sum_{l=2}^{\infty} \sum_{m=-l}^l C_{lm}^i i_l \left(\sqrt{\frac{S}{\nu}} r \right) Y_l^m(\Theta, \varphi), \quad i = 2, 3, \quad (40)$$

где $i_l(x)$ — модифицированные сферические функции Бесселя.

Функция $\xi_0(\vartheta, \varphi)$, описывающая возмущение поверхности капли, также может быть представлена в виде разложения по сферическим функциям

$$\xi_0(\vartheta, \varphi) = \sum_{l=2}^{\infty} \sum_{m=-l}^l Z_{lm} Y_l^m(\vartheta, \varphi). \quad (41)$$

Границы изменения индекса l в выражениях (39)–(41) определяются условиями (35).

Решение краевой задачи для потенциалов

Система уравнений (2), (7), (8) позволяет сформулировать краевую задачу для потенциалов Φ_i :

$$\Delta\Phi_1 = 0; \quad \Delta\Phi_2 = 0; \quad (42)$$

$$\begin{aligned}
r = 0: & \quad \Phi_1 = \text{const}; \\
r \rightarrow \infty: & \quad \Phi_2 \rightarrow 0; \\
r = 1 + \xi: & \quad \Phi_1 = \Phi_2;
\end{aligned} \quad (43)$$

$$\frac{\partial \kappa}{\partial t} - \sigma(\mathbf{n} \cdot \mathbf{E}_1) + 2\kappa u_r + \text{div}_{\Sigma}[\kappa(u_r + bE_r)\boldsymbol{\tau}] = 0; \quad (44)$$

$$\kappa = \frac{1}{4\pi} \mathbf{n} \cdot (\mathbf{E}_2 - \mathbf{E}_1) = \frac{1}{4\pi} \left(\varepsilon \frac{\partial \Phi_1}{\partial n} - \frac{\partial \Phi_2}{\partial n} \right).$$

Выше учтено, что объемная плотность заряда в капле $\mu = 0$, а перераспределение заряда при волновом искажении формы капли происходит за счет поверхностных токов.

Представим потенциалы Φ_i ($i = 1, 2$) в виде разложения $\Phi_i = \Phi_i^0 + \delta\Phi_i$, где Φ_i^0 — потенциалы при равновесном состоянии системы, $\delta\Phi_i$ — добавки, вызванные возмущением равновесной формы поверхности капли и линейные по нему. Подставив эти разложения в уравнения (42), (43), выпишем отдельно краевые задачи для Φ_i^0 и $\delta\Phi_i$

$$r = 0: \quad \Phi_1^0 = \text{const}; \quad \delta\Phi_1 \rightarrow 0; \quad (45)$$

$$r \rightarrow \infty: \quad \Phi_2^0 \rightarrow 0; \quad \delta\Phi_2 \rightarrow 0; \quad (46)$$

$$r = 1: \quad \Phi_1^0 = \Phi_2^0; \quad \delta\Phi_1 + \frac{\partial \Phi_1^0}{\partial r} \xi = \delta\Phi_2 + \frac{\partial \Phi_2^0}{\partial r} \xi. \quad (47)$$

Для потенциалов Φ_i^0 получим

$$\Phi_1^0 = Q; \quad \Phi_2^0 = Q/r.$$

Решения уравнений (42) для добавок $\delta\Phi_i$, удовлетворяющие условиям (45), (46), естественно искать в виде

$$\delta\Phi_1 = \sum_{l,m} A_{lm} \cdot r^l \cdot Y_l^m(\vartheta, \varphi) \cdot \exp(St);$$

$$\delta\Phi_2 = \sum_{l,m} B_{lm} \cdot r^{-(l+1)} \cdot Y_l^m(\vartheta, \varphi) \cdot \exp(St). \quad (48)$$

Используя граничное условие (47), найдем первое уравнение, связывающее неизвестные константы A_{lm} , B_{lm} и Z_{lm}

$$A_{lm} = B_{lm} - QZ_{lm}. \quad (49)$$

Граничное условие (44) в первом порядке малости по u и ξ (с учетом (13), (37) и (41)) можно представить в виде

$$\begin{aligned}
r = 1: \quad & \sigma \frac{\partial(\delta\Phi_1)}{\partial r} + \frac{Q}{4\pi} \Delta_{\Omega} \left(\Psi_1 + \frac{\partial}{\partial r} (r\Psi_3) - b \cdot \delta\Phi_1 \right) \\
& + \frac{S}{4\pi} \left(\varepsilon \frac{\partial(\delta\Phi_1)}{\partial r} - \frac{\partial(\delta\Phi_2)}{\partial r} - 2 \frac{Q}{r^3} \xi \right) \\
& + 2 \frac{Q}{4\pi} S\xi = 0,
\end{aligned}$$

откуда получается второе условие для констант A_{lm} , B_{lm} и Z_{lm} :

$$\begin{aligned}
(4\pi\sigma + (l+1)Qb + S\varepsilon)lA_{lm} + S(l+1)B_{lm} \\
- Ql(l+1)[C_{lm}^1 + G_l(S, \nu)C_{lm}^3] = 0; \\
G_l(S, \nu) \equiv q \cdot i_{l+1}(q) + (l+1) \cdot i_l(q); \\
q \equiv \sqrt{S/\nu}.
\end{aligned} \quad (50)$$

Используя систему (49), (50), можно выразить коэффициенты A_{lm} и B_{lm} в (48) для $\delta\Phi_1$ и $\delta\Phi_2$ через коэффициенты Z_{lm} в разложении по сферическим функциям возмущения свободной поверхности $\xi(\vartheta, \varphi, t)$:

$$A_{lm} = -D_l Q [SZ_{lm} - l(C_{lm}^1 + G_l(S, \nu)C_{lm}^3)];$$

$$B_{lm} = Q[(1 - D_l S)Z_{lm} + lD_l(C_{lm}^1 + G_l(S, \nu)C_{lm}^3)];$$

$$D_l(\sigma, \varepsilon, S) \equiv \frac{l+1}{k[4\pi\sigma + (l+1)Qb + S\varepsilon] + (l+1)S}.$$

Используя полученные решения для потенциалов, выпишем нормальные и касательные компоненты вектора напряженности электрического поля

$$\begin{aligned}
r = 1 + \xi: \quad E_{1n} = (\mathbf{n} \cdot \mathbf{E}_1) \approx Q \sum_{l,m} lD_l(\sigma, \varepsilon, S) \\
\times [SZ_{lm} - lC_{lm}^1 - lG(S, \nu)C_{lm}^3] Y_l^m(\vartheta, \varphi) \exp(St);
\end{aligned}$$

$$\begin{aligned}
E_{2n} = (\mathbf{n}, \mathbf{E}_2) \approx Q + Q \sum_{l,m} [(l-1 - (l+1)D_l S)Z_{lm} \\
+ l(l+1)D_l(\sigma, \varepsilon, S)[C_{lm}^1 + G(S, \nu)C_{lm}^3]] Y_l^m(\vartheta, \varphi) \exp(St);
\end{aligned}$$

$$\begin{aligned}
E_{1\vartheta} = (\boldsymbol{\tau}_{\vartheta}, \mathbf{E}_1) \approx Q \sum_{l,m} D_l(\sigma, \varepsilon, S) \\
\times [SZ_{lm} - lC_{lm}^1 - lG(S, \nu)C_{lm}^3] \frac{\partial Y_l^m(\vartheta, \varphi)}{\partial \vartheta} \exp(St);
\end{aligned}$$

$$\begin{aligned}
E_{2\vartheta} = (\boldsymbol{\tau}_{\vartheta}, \mathbf{E}_2) \approx Q \sum_{l,m} D_l(\sigma, \varepsilon, S) \\
\times [SZ_{lm} - lC_{lm}^1 - lG(S, \nu)C_{lm}^3] \frac{\partial Y_l^m(\vartheta, \varphi)}{\partial \vartheta} \exp(St);
\end{aligned}$$

$$\begin{aligned}
E_{1\varphi} = (\boldsymbol{\tau}_{\varphi}, \mathbf{E}_1) \approx Q \sum_{l,m} D_l(\sigma, \varepsilon, S) [SZ_{lm} - lC_{lm}^1 \\
- lG(S, \nu)C_{lm}^3] \frac{1}{\sin \vartheta} \frac{\partial Y_l^m(\vartheta, \varphi)}{\partial \varphi} \exp(St);
\end{aligned}$$

$$\begin{aligned}
E_{2\varphi} = (\boldsymbol{\tau}_{\varphi}, \mathbf{E}_2) \approx Q \sum_{l,m} D_l(\sigma, \varepsilon, S) [SZ_{lm} - lC_{lm}^1 \\
- lG(S, \nu)C_{lm}^3] \frac{1}{\sin \vartheta} \frac{\partial Y_l^m(\vartheta, \varphi)}{\partial \varphi} \exp(St). \quad (51)
\end{aligned}$$

Давление электрического поля на возмущенную поверхность капли имеет вид

$$P_E = -\mu\Phi_1 + \frac{1}{8\pi} [E_{2n}^2 - \varepsilon E_{1n}^2] + (\varepsilon + 1) \frac{E_{2r}^2}{8\pi}. \quad (52)$$

Используя выражения (51), (52) и учитывая, что $\mu = 0$, для давления электрического поля в первом порядке малости найдем

$$P_E^0 = \frac{Q^2}{8\pi}; P_E \approx \frac{Q^2}{4\pi} \sum_{l,m} [(l-1 - (l+1)D_l(\sigma, \varepsilon, S)S)Z_{lm} + l(l+1)D_l(\sigma, \varepsilon, S)[C_{lm}^1 + G(S, \nu)C_{lm}^3]] Y_l^m(\vartheta, \varphi) \exp(St). \quad (53)$$

Для записи динамических граничных условий для касательных компонент тензора напряжений необходимо знать электрические части касательных компонент тензора напряжений $(\Pi_{2\Theta} - \Pi_{1\Theta})$ и $(\Pi_{2\varphi} - \Pi_{1\varphi})$.

Используя соотношения (51), (52) и определение $\Pi_r = (\varepsilon/4\pi)E_n E_r$, убедимся, что $\Pi_{1r\Theta} \approx \Pi_{2r\varphi} \approx 0$, так как являются величинами второго порядка малости. В результате найдем

$$r = 1 + \xi: (\Pi_{2\Theta} - \Pi_{1\Theta}) \approx \frac{Q^2}{4\pi} \sum_{l,m} D_l(\sigma, \varepsilon, S) \times [SZ_{lm} - IC_{lm}^1 - IG(S, \nu)C_{lm}^3] \frac{\partial Y_l^m(\vartheta, \varphi)}{\partial \vartheta} \exp(St); \quad (54)$$

$$(\Pi_{2\varphi} - \Pi_{1\varphi}) \approx \frac{Q^2}{4\pi} \sum_{l,m} D_l(\sigma, \varepsilon, S) \times [SZ_{lm} - IC_{lm}^1 - IG(S, \nu)C_{lm}^3] \frac{1}{\sin \vartheta} \frac{\partial Y_l^m(\vartheta, \varphi)}{\partial \varphi} \exp(St). \quad (55)$$

Получение дисперсионного уравнения

Чтобы удовлетворить динамическим граничным условиям (32)–(34), воспользуемся выражениями для электрических частей касательных компонент тензора напряжений (54), (55) и для добавки к давлению электрических сил P_E (53), а также для добавки к давлению сил поверхностного натяжения P_α [10].

Удовлетворяя граничным условиям, получим два дисперсионных уравнения, соответствующих вихревым тороидальным движениям, описываемым функцией $\Psi_2(\mathbf{r}, t)$, и гармоническим и вихревым полоидальным движениям, описываемым функциями $\Psi_1(\mathbf{r}, t)$ и $\Psi_3(\mathbf{r}, t)$ [10,11]. В этом несложно убедиться, поскольку граничные условия (32), (33) с учетом выражений (54), (55) после несложных математических

преобразований могут быть приведены к виду

$$r = 1: \Delta_\Omega \left\{ \frac{Q^2}{4\pi} \sum_{l,m} D_l(\sigma, \varepsilon, S) [SZ_{lm} - IC_{lm}^1 - l(q \cdot i_{l+1}(q) + (l+1) \cdot i_l(q))C_{lm}^3] Y_l^m(\vartheta, \varphi) - \nu \left[2 \frac{\partial}{\partial r} \left(\frac{\Psi_1^0}{r} \right) + \frac{\partial^2 \Psi_3^0}{\partial r^2} - \frac{1}{r^2} (2 + \Delta_\Omega) \Psi_3^0 \right] \right\} = 0; \quad (56)$$

$$\left\{ \frac{\partial \Psi_2^0}{\partial r} - \frac{\Psi_2^0}{r} \right\} = 0; \quad q \equiv \sqrt{S/\nu}. \quad (57)$$

В проведенных преобразованиях использовалось то обстоятельство, что

$$\Delta_\Omega = (-\hat{N}_2^+, \hat{N}_2); \quad n_j^i \neq 0.$$

Для тороидальных движений после подстановки решения (40) в условие (57) получим

$$q \cdot i_{l+1}(q) + (l-1) \cdot i_l(q) = 0. \quad (58)$$

Решения уравнения (58) представляют однопараметрическое множество декрементов затухания вихревых тороидальных движений жидкости в капле и от удельной электропроводности жидкости не зависят. Иными словами, на вихревые тороидальные движения жидкости в капле эффект релаксации заряда влияния не оказывает.

Дисперсионное уравнение для гармонических и вихревых полоидальных движений получается из условия обращения в нуль определителя системы линейных уравнений относительно коэффициентов Z_{lm} , C_{lm}^1 , C_{lm}^3 , которая возникает после подстановки решений (39), (40), выражения (53) и давления P_α в граничные условия (31), (34), (56)

$$IC_{lm}^1 + i_l(q)l(l+1)C_{lm}^3 - SZ_{lm} = 0;$$

$$[S + 2\nu l(l-1) - 4W \cdot l(l+1) \cdot D_l(\sigma, \varepsilon, S)] C_{lm}^1 + l(l+1) [2\nu(q \cdot f_l(q) + (l-1)) - 4W \cdot D_l(\sigma, \varepsilon, S) \times (q \cdot f_l(q) + (l+1))] i_l(q) C_{lm}^3 + [l(l+1) - 2 + 4W((l+1)D_l(\sigma, \varepsilon, S)S - (l-1))] Z_{lm} = 0;$$

$$-\left[\frac{Q^2}{4\pi} D_l(\sigma, \varepsilon, S)l + 2\nu(l-1) \right] C_{lm}^1 + \left[[(l+1)(2\nu(1-l) - \frac{Q^2}{4\pi} D_l(\sigma, \varepsilon, S)) - S] i_l(q) + 2q \left(\nu - \frac{Q^2}{8\pi} D_l(\sigma, \varepsilon, S) \right) i_{l+1}(q) \right] C_{lm}^3 + 4W D_l(\sigma, \varepsilon, S) SZ_{lm} = 0; \quad (59)$$

$$f_l(q) \equiv i_{l+1}(q)/i_l(q); \quad W \equiv Q^2/16\pi.$$

Приравняв нулю определитель системы однородных алгебраических уравнений (59) (т.е. удовлетворив требованию их совместности), получим дисперсионное уравнение для гармонических и вихревых полоидальных движений

$$\begin{aligned} & S[S^2 + l(l-1)(2l+1)vS + l(l-1)(l+2-4W)] \\ & + 2\sqrt{\frac{S}{v}}f_l\left(\sqrt{\frac{S}{v}}\right)\left\{(2lD_l(\sigma, \varepsilon, S)W - v)\right. \\ & \times [S^2 + 2l(l-1)(l+2)Sv + l(l-1)(l+2-4W)] \\ & + 8l(l-1)(l^2+1)vSWD_l(\sigma, \varepsilon, S)\left.\right\} + 4(l-1) \\ & \times (S^2v - D(l+1)W(S^2 + (l-1)l(l+2-4W+2Sv))) \\ & + 2\sqrt{\frac{S}{v}}f_l\left(\sqrt{\frac{S}{v}}\right)(4D(l-1)l(l^2+1)SWv) = 0; \quad (60) \end{aligned}$$

$$D_l(\sigma, \varepsilon, S) \equiv \frac{l+1}{4l[\pi\sigma + (l+1)(\pi W)^{1/2}b + S\varepsilon] + (l+1)S}.$$

Полученное дисперсионное уравнение отличается от приведенных в [4–6] слагаемыми, собранными в двух последних строчках.

Несложно видеть, что при $v = 0$ и $\varepsilon \rightarrow \infty$ (60) сводится к дисперсионному уравнению для заряженной капли идеально проводящей вязкой жидкости, полученному Рэлеем [12]. Нетрудно видеть, что в этом случае: $S = \pm i\sqrt{l(l-1)[(l+2)-4W]}$. Если $3W < (l+2)$, то S определяет собственные частоты осцилляций поверхности заряженной капли идеальной жидкости. При $4W > (l+1)$ величина S характеризует инкремент экспоненциального нарастания либо декремент экспоненциального затухания решений со временем. Значение $4W = (l+2)$ разделяет устойчивые и неустойчивые решения, т.е. определяет критическую величину имеющегося на капле заряда. Для того чтобы капля стала неустойчивой, достаточно, чтобы условие неустойчивости выполнялось для самой неустойчивой из мод — для второй. Полагая $l = 2$ и переходя в определении для W к размерным величинам, для случая идеально проводящей жидкости несложно найти величину заряда капли, критическую для начала реализации ее неустойчивости по отношению к давлению электрического поля: $Q \equiv 4\sqrt{\pi\alpha R^3}$.

Влияние релаксации электрического заряда учитывается выражением $D_l(\sigma, \varepsilon, S)$, входящим в дисперсионное уравнение (60), которое при $\sigma \rightarrow \infty$ обращается в нуль. При этом перераспределение заряда по поверхности капли при ее деформации происходит мгновенно и эффект релаксации не наблюдается. Из (60) видно, что учет эффекта релаксации электрического заряда приводит к повышению порядка дисперсионного уравнения из-за появления дополнительного движения жидкости, связанного с волной перераспределяющегося по поверхности заряда. Численный анализ уравнения (60) при $D_l(\sigma, \varepsilon, S) \neq 0$

показывает, что конечность скорости выравнивания потенциала, которая является функцией времени уже из-за тепловых осцилляций капли, приводит как к появлению сильно затухающих зарядово-релаксационных волновых движений, так и к увеличению декрементов затухания обычных капиллярных волн. Причина этого в существовании из-за конечной проводимости сдвига фаз между капиллярной волной и связанной с ней волной перераспределяющегося заряда, представляющей собой систему приповерхностных токов, диссипирующую энергию на джоулево тепловыделение. При заряде, закритическом для реализации неустойчивости Рэля, увеличение электропроводности жидкости σ приводит к небольшому снижению величины инкремента. Расчеты показывают, что рост проводимости весьма слабо сказывается на декрементах затухания капиллярных осцилляций и полоидальных движений жидкости. Слабо зависит от проводимости и частота капиллярных осцилляций.

Численные расчеты по полному дисперсионному уравнению (60) приводят к зависимостям вещественной и мнимой компонент частоты осцилляций капли от удельной электропроводности жидкости, проиллюстрированным рис. 1–4. Из рисунков видно, что учет эффекта релаксации электрического заряда, независимо от величины вязкости жидкости и величины собственного заряда капли, приводит к появлению аperiодической неустойчивости, описываемой на всех рисунках ветвью I , величина инкремента которой уменьшается с

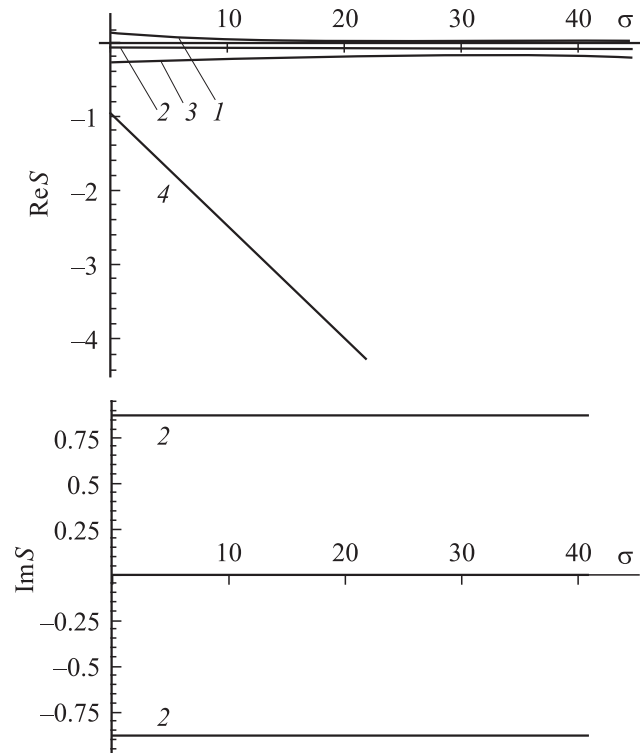


Рис. 1. Зависимости вещественной (а) и мнимой (б) компонент безразмерной частоты от безразмерной проводимости, рассчитанные при $\varepsilon = 80$, $b = 0.5$, $l = 2$, $W = 0.9$, $v = 0.01$.

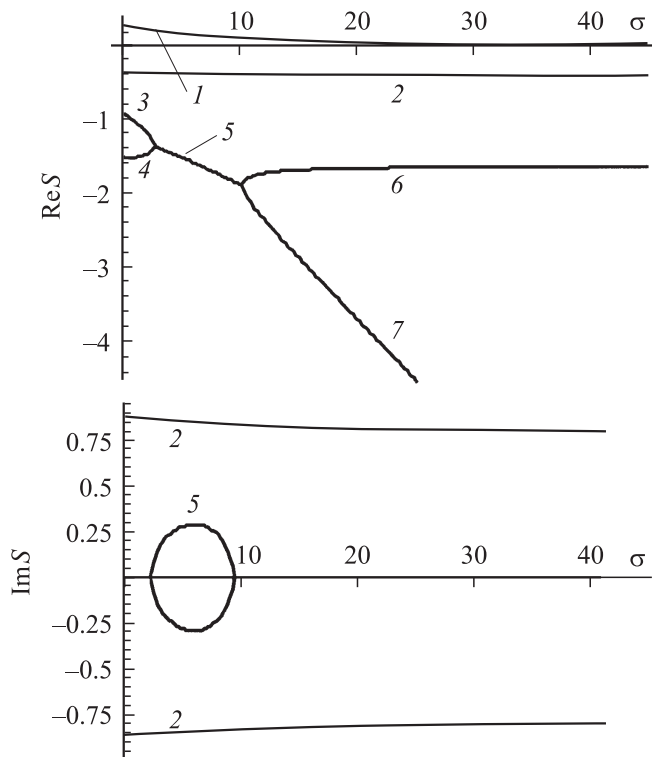


Рис. 2. То же, что на рис. 1; $W = 0.9$, $\nu = 0.1$.

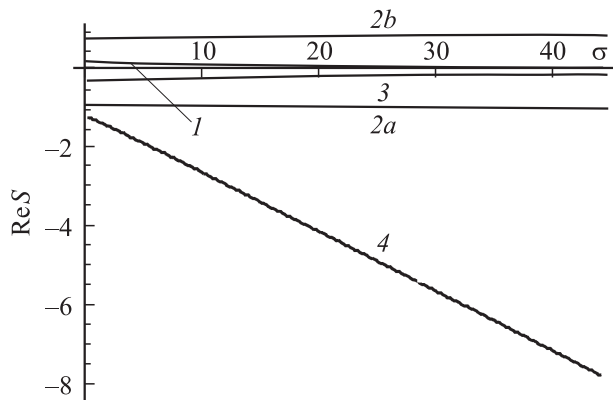


Рис. 3. То же, что на рис. 1; $W = 1.1$, $\nu = 0.01$.

ростом удельной электропроводности, обращаясь в нуль для идеально проводящей жидкости. Физический смысл такой неустойчивости достаточно прозрачен. Носители электрического заряда, направленное движение которых обеспечивает ток, текущий в плохо проводящей жидкости, увлекают за собой за счет передачи импульса направленного движения молекулам жидкости и приводят к появлению течения жидкости в направлении протекания тока, т.е. к выпуклостям на свободной поверхности капли, где в силу перераспределения заряда при деформации капли поверхностная плотность заряда должна расти. Это приводит к появлению дополнительного гидродинамического давления на поверхность

жидкости, величина которого увеличивается с ростом локальной средней кривизны поверхности. Этот феномен был ранее описан в работах [13,14]. Очевидно также, что речь может идти лишь о неустойчивости в рамках приближения, линейного по амплитуде деформации свободной поверхности. Как только амплитуда деформации перестанет быть весьма малой по сравнению с радиусом капли, линейная теория перестанет работать, и исследование дальнейшей временной эволюции деформации должно проводиться в рамках нелинейного анализа. Следует также отметить, что качественно сходный тип неустойчивости был обнаружен ранее при линейном анализе устойчивости однородно заряженной плоской поверхности жидкости, по которой распределено поверхностно инактивное вещество [15].

На рис. 1 ветвь 2 описывает капиллярные осцилляции капли, частота и декремент затухания которых весьма слабо зависят от проводимости. Ветвь 3 соответствует затухающему пологидальному вихрю, а ветвь 4 — быстро затухающему с ростом электропроводности течению жидкости, порождаемому релаксационным переносом заряда вдоль поверхности капли.

На рис. 2, построенном при тех же значениях физических параметров, что и рис. 1, но при существенно большей безразмерной вязкости (увеличение безразмерной вязкости жидкости капли может быть достигнуто как увеличением собственно коэффициента вязкости жидкости, так и уменьшением радиуса капли) появляется качественно новое релаксационное движение, описываемое

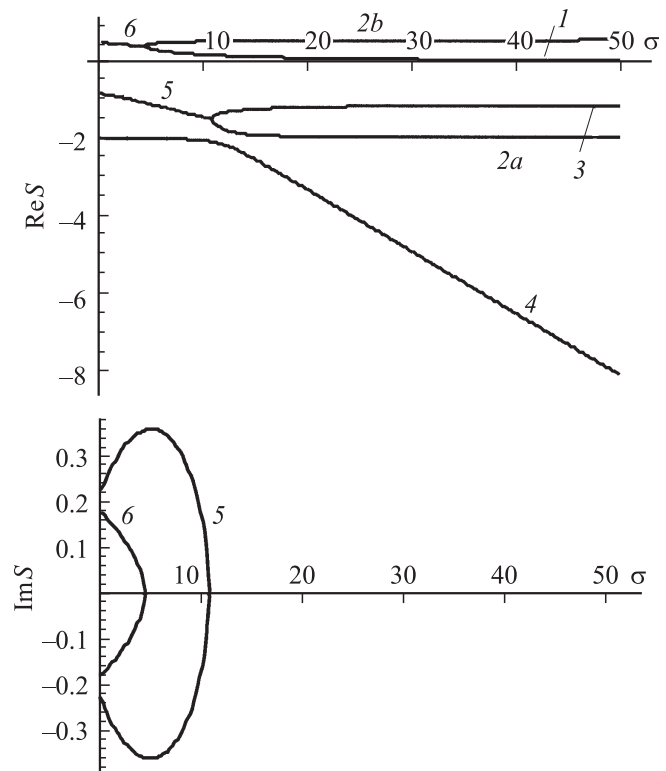


Рис. 4. То же, что на рис. 1; $W = 1.1$, $\nu = 0.01$.

ветвью 5. Это движение соответствует быстро затухающему периодическому движению (частота в несколько раз меньше декремента затухания), возникающему при взаимодействии полоидального аperiodического движения 3 с аperiodическим релаксационным движением 4. Остальные тенденции реализующихся в капле движений остаются теми же, что и на рис. 1.

На рис. 3 и 4 приведены характеристики реализующихся в капле движений жидкости при закритическом по Рэлею заряде капли, когда капиллярные осцилляции основной моды отсутствуют. При малой безразмерной вязкости (рис. 3) в капле реализуются только аperiodические движения. Ветвь 1, как отмечалось выше, соответствует неустойчивым релаксационным движениям жидкости. Ветви 2a (соответствует затухающим движениям) и 2b (соответствует экспоненциально нарастающим движениям) образуются из периодического движения 2 на рис. 1 и 2 при переходе параметра Рэлея W через критическое значение $W = 1$. С ростом безразмерной вязкости кроме движений, присутствовавших на рис. 3, появляются два почти периодических движения: ветвь 6 соответствует колебательной неустойчивости, возникающей при взаимодействии неустойчивого релаксационного движения 1 и экспоненциально нарастающего капиллярного движения 2b (о существовании таких движений жидкости ранее сообщалось в [16,17] как для плоской, так и для сферической равновесной заряженной поверхности жидкости), и затухающего квазипериодического релаксационного движения 5, возникающего при взаимодействии трех ветвей: релаксационного движения 4, полоидального движения 3 и ветви затухающих капиллярных движений 2a.

Заключение

Выведено корректное дисперсионное уравнение для течений жидкости в заряженной капле вязкой несжимаемой жидкости с конечной электропроводностью. Конечность скорости выравнивания электрического потенциала вдоль капли, проявляющаяся в конечности скорости переноса носителей электрического заряда и передачи импульса направленного движения от носителей заряда к нейтральным молекулам жидкости, приводит к появлению дополнительных течений жидкости внутри капли. Релаксационные движения жидкости взаимодействуют как с потенциальными, так и с вихревыми полоидальными движениями, образуя в зависимости от величины собственного заряда капли либо затухающие, либо экспоненциально нарастающие квазипериодические движения жидкости. Влияние конечности скорости перераспределения заряда увеличивается с уменьшением удельной электропроводности жидкости, когда время максвелловской релаксации заряда становится сравнимым с характерными временами реализации капиллярных осцилляций капли. На вихревые тороидальные движения

жидкости в капле эффект релаксации заряда влияния в использованном линейном приближении не оказывает.

Работа выполнена при поддержке гранта РФФИ № 06-01-00066-а.

Список литературы

- [1] Григорьев А.И., Ширяева С.О. // Изв. РАН. МЖГ. 1994. № 3. С. 3–22.
- [2] Григорьев А.И., Ширяева С.О., Жаров А.Н., Коромыслов В.А. // ЭОМ. 2005. № 3. С. 25–35.
- [3] Григорьев А.И., Ширяева С.О., Жаров А.Н., Коромыслов В.А. // ЭОМ. 2005. № 4. С. 24–34.
- [4] Григорьев А.И., Ширяева С.О. // Изв. РАН. МЖГ. 1997. № 5. С. 107–118.
- [5] Григорьев А.И., Ширяева С.О., Белоножко Д.Ф. // ЖТФ. 1999. Т. 69. Вып. 10. С. 34–42.
- [6] Григорьев А.И., Ширяева С.О. // Изв. РАН. МЖГ. 2002. № 5. С. 67–72.
- [7] Шутов А.А., Шкадов В.Я. // Изв. РАН. МЖГ. 2002. № 5. С. 54–66.
- [8] Melcher J.R., Taylor G.I. // Ann. Rev. Fluid Mech. Palo Alto, California. 1969. Vol. 1. P. 111–146.
- [9] Белоножко Д.Ф., Григорьев А.И. // ЖТФ. 2004. Т. 74. Вып. 11. С. 22–28.
- [10] Ширяева С.О., Лазарянец А.Э., Григорьев А.И. и др. Метод скаляризации векторных краевых задач. Препринт ИМРАН № 27. Ярославль, 1994. 126 с.
- [11] Григорьев А.И., Лазарянец А.Э. // ЖТФ. 1993. Т. 63. Вып. 10. С. 12–19.
- [12] Rayleigh, Lord // Phil. Mag. 1882. Vol. 14. P. 184–186.
- [13] Григорьев А.И. // ЖТФ. 1986. Т. 56. Вып. 3. С. 538–541.
- [14] Григорьев А.И., Ширяева С.О. // ИФЖ. 1991. Т. 60. № 4. С. 632–641.
- [15] Григорьев А.И., Белоножко Д.Ф., Ширяева С.О. // Письма в ЖТФ. 1997. Т. 23. Вып. 16. С. 26–31.
- [16] Ширяева С.О., Григорьев А.И., Коромыслов В.А. // ЖТФ. 1997. Т. 67. Вып. 8. С. 34–41.
- [17] Белоножко Д.Ф., Григорьев А.И., Ширяева С.О. // Изв. РАН. МЖГ. 1998. № 6. С. 116–123.